

DD 55 N

Elektrische Eigenschaften **Electrical properties**

Höchstzulässige Werte	Maximum rated values					
Periodische Spitzensperrspannung	repetitive peak reverse voltage	$t_{vj} = -40^\circ\text{C} \dots t_{vj \max}$	V_{RRM}	600, 800 1200, 1400 1600	V V V	
Stoßspitzenspannung	non repetitive peak reverse voltage	$t_{vj} = +25^\circ\text{C} \dots t_{vj \max}$	$V_{RSM} = V_{RRM}$	+ 100	V	
Durchlaßstrom-Grenzeffektivwert	RMS forward current		I_{FRMSM}	100	A	
Dauergrenzstrom	average forward current	$t_c = 100^\circ\text{C}$ $t_c = 88^\circ\text{C}$	I_{FAVM}	55 64	A A	
Stoßstrom-Grenzwert	surge current	$t_{vj} \leq 25^\circ\text{C}, t_p = 10 \text{ ms}$ $t_{vj} = t_{vj \max}, t_p = 10 \text{ ms}$	I_{FSM}	1200 1050	A A	
Grenzlastintegral	$\int i^2 dt$ -value	$t_{vj} \leq 25^\circ\text{C}, t_p = 10 \text{ ms}$ $t_{vj} = t_{vj \max}, t_p = 10 \text{ ms}$	$\int i^2 dt$	7200 5500	A^2s A^2s	

Charakteristische Werte **Characteristic values**

Durchlaßspannung	forward voltage	$t_{vj} = t_{vj \max}, i_F = 200 \text{ A}$	V_F	max.	1,4	V
Schleusenspannung	threshold voltage		$V_{(TO)}$		0,75	V
Ersatzwiderstand	slope resistance		r_T		3,1	$\text{m}\Omega$
Sperrstrom	reverse current	$t_{vj} = t_{vj \max}, v_R = V_{RRM}$	i_R	max.	5	mA
Isolations-Prüfspannung	insulation test voltage	RMS, $f = 50 \text{ Hz}, t = 1 \text{ min}$	V_{ISOL}		2,5	kV

Thermische Eigenschaften **Thermal properties**

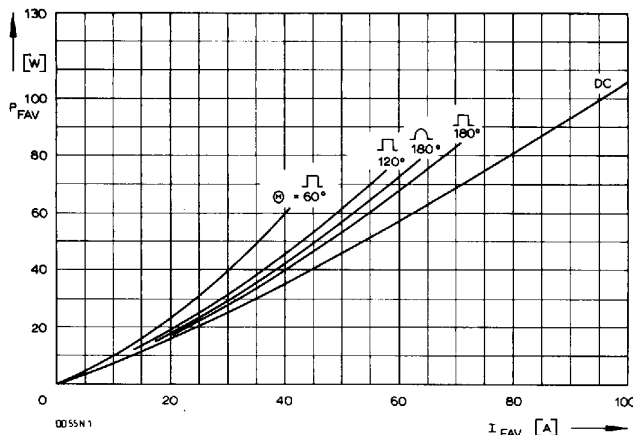
Innerer Wärmewiderstand	thermal resistance, junction to case	$\Theta = 180^\circ\text{el. sinus: pro Modul/per module}$ DC: $\Theta = 180^\circ\text{el. sinus: pro Zweig/per arm}$	R_{thJC}	max.	0,39°C/W 1,78°C/W	
Übergangs-Wärmewiderstand	thermal resistance, case to heatsink	pro Modul/per module pro Zweig/per arm	R_{thCK}	max.	0,8 °C/W 0,16°C/W	
Höchstzul. Sperrsichttemperatur	max. junction temperature			$t_{vj \max}$	150°C	
Betriebstemperatur	operating temperature			$t_{c_{op}}$	- 40°C ... +150°C	
Lagertemperatur	storage temperature			t_{stg}	- 40°C ... +150°C	

Mechanische Eigenschaften **Mechanical properties**

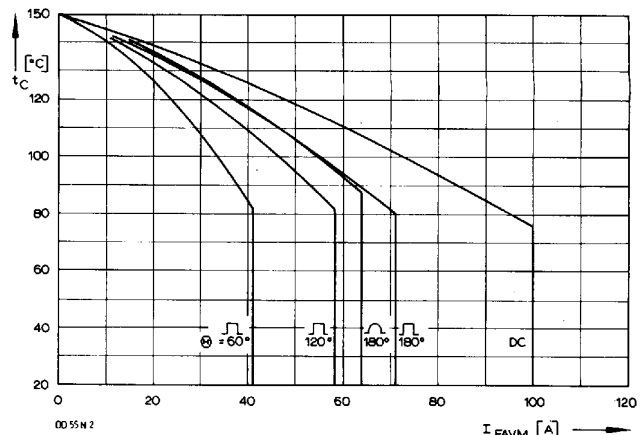
Si-Elemente glaspassiviert, Lötkontakt	Si-pellets glass-passivated, soldered contact					
Innere Isolation	internal insulation					Al_2O_3
Anzugsdrehmomente	tightening torques					
mechanische Befestigung	mounting torque	Toleranz/tolerance $\pm 15\%$	$M1$		4 Nm	
elektrische Anschlüsse	terminal connection torque	Toleranz/tolerance $+ 5\%/- 10\%$	$M2$		4 Nm	
Gewicht	weight		G		typ. 160 g	
Kriechstrecke	creepage distance					12,5 mm
Schwingfestigkeit	vibration resistance	$f = 50 \text{ Hz}$				$5 \cdot 9,81 \text{ m/s}^2$
Maßbild	outline					1

Recognized by UNDERWRITERS LABORATORIES INC.

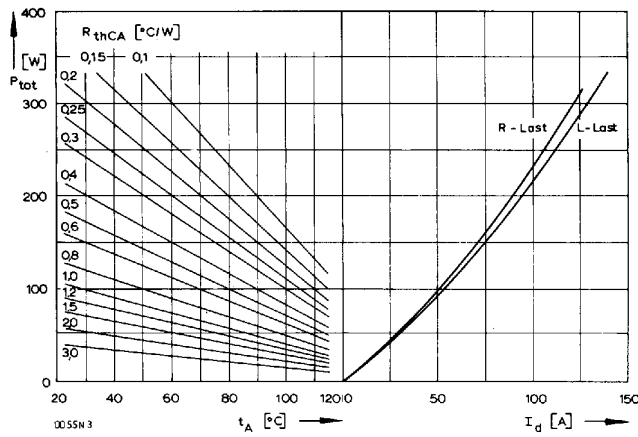
DD 55 N



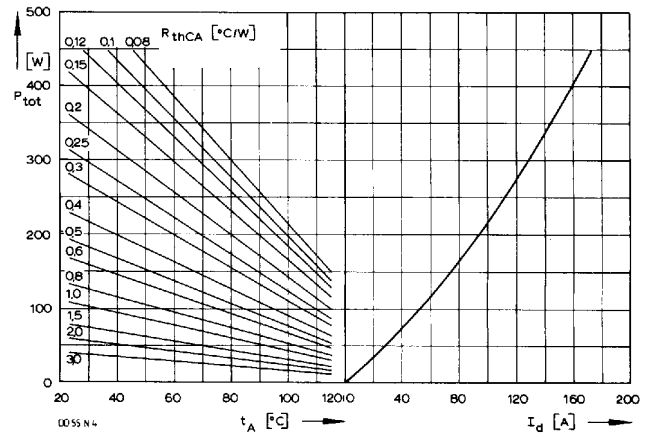
Bild/Fig. 1
Durchlaßverlustleistung P_{FAU} eines Zweiges
Forward power loss P_{FAU} per arm



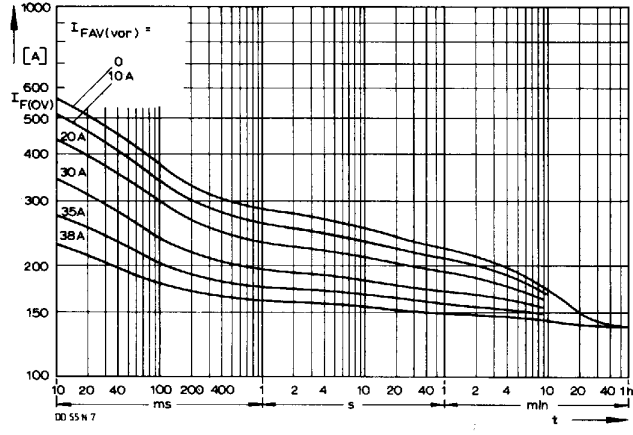
Bild/Fig. 2
Höchstzulässige Gehäsetemperatur t_C in Abhängigkeit vom Zweigstrom
Maximum allowable case temperature t_C versus current per arm



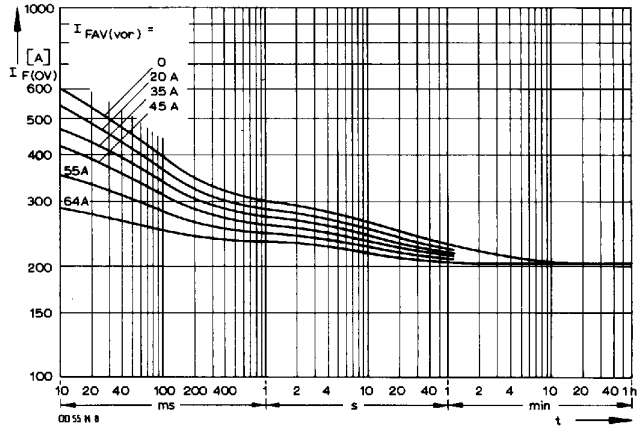
Bild/Fig. 3
B2 – Zweipuls-Brückenschaltung
Höchstzulässiger Ausgangsstrom I_d in Abhängigkeit von der Umgebungs-
temperatur t_A .
B2 – Two-pulse bridge circuit
Maximum allowable output current I_d versus ambient temperature t_A .
Parameter: Wärmewiderstand zwischen Powerblock und Umgebung/
thermal resistance case to ambient R_{thCA}



Bild/Fig. 4
B6 – Sechspuls-Brückenschaltung
Höchstzulässiger Ausgangsstrom I_d in Abhängigkeit von der Umgebungs-
temperatur t_A .
B6 – Six-pulse bridge circuit
Maximum allowable output current I_d versus ambient temperature t_A .
Parameter: Wärmewiderstand zwischen Powerblock und Umgebung/
thermal resistance case to ambient R_{thCA}

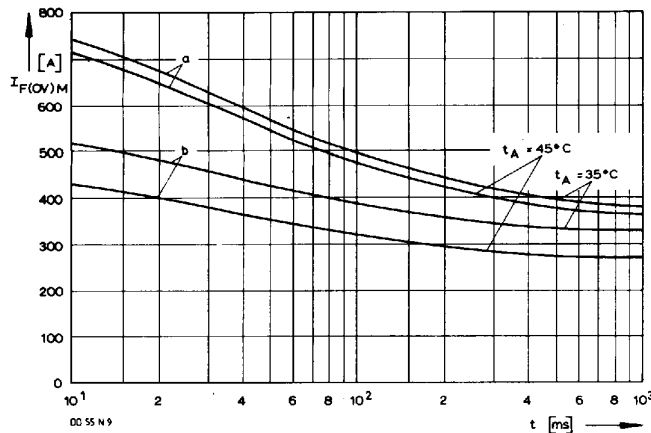


Bild/Fig. 5
B2 – Zweipuls-Brückenschaltung/Two-pulse bridge circuit
Überstrom je Zweig $I_F(OV)$ bei Luftselbstkühlung, $t_A = 45^\circ\text{C}$, Kühlkörper KP0,33S.
Overload on-state current per arm $I_F(OV)$ at natural cooling, $t_A = 45^\circ\text{C}$,
heat sink type KP0.33S.
Parameter: Vorlaststrom je Zweig/pre-load current per arm $I_{FAU(\text{vor})}$



Bild/Fig. 6
B2 – Zweipuls-Brückenschaltung/Two-pulse bridge circuit
Überstrom je Zweig $I_F(OV)$ bei verstärkter Luftkühlung, $t_A = 35^\circ\text{C}$,
Kühlkörper KP0,33S.
Overload on-state current per arm $I_F(OV)$ at forced cooling, $t_A = 35^\circ\text{C}$,
heat sink type KP0.33S.
Parameter: Vorlaststrom je Zweig/pre-load current per arm $I_{FAU(\text{vor})}$

DD 55 N



Bild/Fig. 7

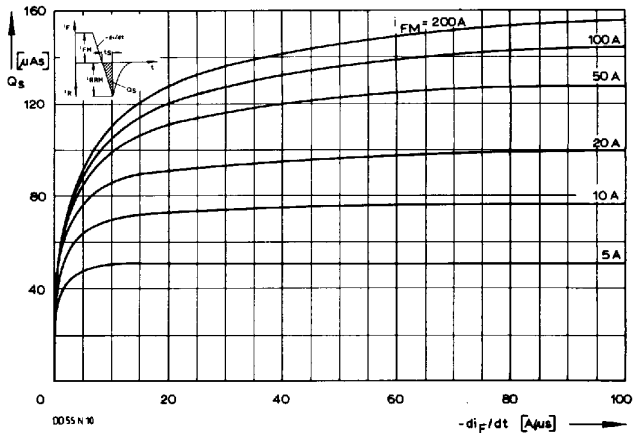
Grenzstrom je Zweig $I_{F(OV)M}$ bei Luftselbstkühlung, $t_A = 45^\circ\text{C}$ und verstärkter Luftkühlung, $t_A = 35^\circ\text{C}$, Kühlkörper KP0.33S, $V_{RM} = 0.8 V_{RRM}$.

Limiting overload on-state current per arm $I_{F(OV)M}$ at natural ($t_A = 45^\circ\text{C}$) and forced ($t_A = 35^\circ\text{C}$) cooling, heatsink type KP0.33S, $V_{RM} = 0.8 V_{RRM}$.

a – Belastung nach Leerlauf/current surge under no-load conditions

b – Belastung nach Betrieb mit Dauergrenzstrom I_{FAVM}

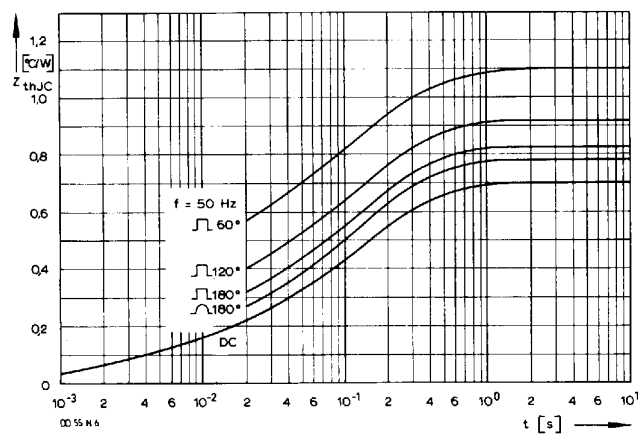
Current surge occurs during operation at limiting mean on-state current rating I_{FAVM}



Bild/Fig. 8

Nachlauffladung Q_S in Abhängigkeit von der abkommunizierenden Stromsteilheit $-di_F/dt$ bei $t_{ij} \max$.

Lag charge Q_S versus the rate of decay of the on-state current $-di_F/dt$ at $t_{ij} \max$.



Bild/Fig. 9

Transienter innerer Wärmewiderstand je Zweig Z_{thJC} .

Transient thermal impedance, junction to case, per arm $Z_{(th)JC}$.

Pos. n	1	2	3	4	5
R_{thn} [°C/W]	0,00039	0,0674	0,0505	0,2296	0,3521
τ_n [s]	0,000051	0,0018	0,007	0,055	0,227

$$Z_{thJC} = \sum_{n=1}^{n_{\max}} R_{thn} (1 - e^{-t/\tau_n})$$

Transienter Wärmewiderstand Z_{thJC} pro Zweig für DC.

Transient thermal impedance Z_{thJC} per arm for DC.